

**REPESZLÖVEDÉKEK/HARCIRÉSZEK HATÉKONYSÁGA ÉS
A REPESZTÖLTETEK FAJLAGOS ENERGIATARTALMAI
KÖZÖTTI ÖSSZEFÜGGÉSEK III.
A REPESZHATÁS. FIZIKAI-MATEMATIKAI LEÍRÁS ÉS
ÉRTELMEZÉS**

Dr. Molnár László

hadtudomány (haditechnika) kandidátusa

A jelen publikáció – amely a szerző (korábbi) REPESZLÖVEDÉKEK/HARCIRÉSZEK HATÉKONYSÁGA ÉS A REPESZTÖLTETEK FAJLAGOS ENERGIATARTALMAI KÖZÖTTI ÖSSZEFÜGGÉSEK, 2. rész c. közleményének folytatása – a repeszhatásra vonatkozó kutatási eredményeket tartalmazza.

A fenti hivatkozású 1. és 2. rész c. közleményekben foglaltak alapján nyilvánvalóak az alábbiak.

- Mind a repeszhatás, mind a repeszhatékonyság szabatos (fizikai-matematikai) függvényeinek explicit leírása – potenciálisan – lehetséges. Továbbá:
- A fenti függvények – függvénykapcsolatban állnak, ahol a független változó, a repeszhatás (függvénye).

Az előzőekből következik, hogy első lépésként a repeszhatás függvényének kifejtése és értelmezése szükséges, ugyanis ennek felhasználásával a repeszhatékonysági függvény és ennek kapcsolata is meghatározható és értelmezhető. A szerző mindezeket a jelen publikációban részletezi.

1. REPESZHATÁS-FÜGGVÉNY DEFINÍCIÓ

A 2. rész 2. pontjában foglaltak alapján megállapítható, hogy **a repeszhatás jellemző és szabatos függvénye célszerűen – ugyanakkor megalapozottan feltételezhetően kizárólagosan is – N^l lehet.** Ennek magyarázata az, hogy egyrészt az **1. rész 2. pont CÉLKITŰZÉS**-ében, valamint a **2. rész 2. pont A FIZIKAI MODELL** részében megfogalmazottaknak kizárólag az N -függvények² felel meg – illetőleg, más megközelítés szerint, a hivatkozottakban leírtaknak az N -függvények biztosan megfelelnek.

2. AZ N -FÜGGVÉNYEK KIFEJTÉSE

A kifejtés a céltáblák – 2. rész 2.2. és 2.4.2. pontok szerinti – helyzeti és roncsolódási jellemzőinek, valamint a roncsolódások fizikai folyamatát szabatosan leíró összefüggések ismeretében valósítható meg, a következők szerint.

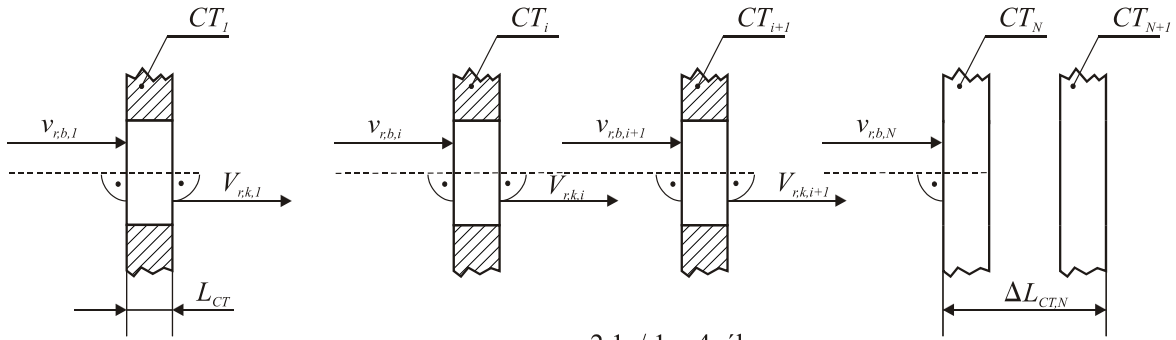
2.1. A céltáblák helyzeti és roncsolódási jellemzői

Legyen valamely terepen elhelyezve $N+1$ db **2. rész 2.2. pont** szerinti valamely ugyanazon anyagi minőségű L_{CT} vastagságú céltábla egymással párhuzamosan és egymástól $\Delta L_{CT,1} \dots \Delta L_{CT,N}$ távolságra. Legyen továbbá $[v_{r,b}]$ valamely azon repesz becsapódási sebessége az 1. céltábla felületén, amely azon áthaladva összesen N db céltáblát roncsol – a **2. rész 2.4.2. pontjában** foglaltaknak megfelelően – és amelynek sebességvektora merőleges az N db céltábla becsapódási felületeire. (Lásd: 2.1./1. ábra.)

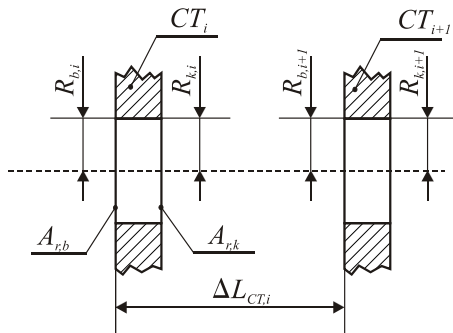
¹ 1.) N : a repesz hatásmutatója. Lásd: **2. rész 2.4.2.1. pont**.

2.) Az **1. és 2. rész** jelölései a jelen publikációban változatlanul érvényesek. Forráshelyük megjelölésére lábjegyzetben kerül sor (magyarázatok szükségessége esetén).

² A többesszám használata azért indokolt, mert a céltáblák anyagi minőségétől függően az N -függvények tartalma eltérő. Lásd: **2. rész, 25. lábjegyzet**.



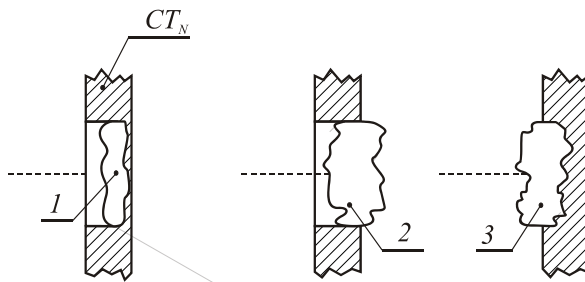
2.1. / 1. - 4. ábra



2.1. / 1. - 3. ábra

2.1. / 1. - 3., 4. ábrák

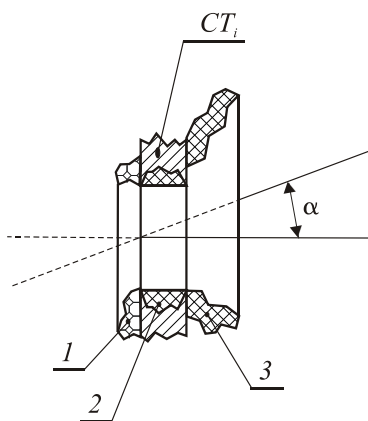
A céltáblák helyzeti és a repeszek haladási jellemzői



1- 3: A repeszek helyzetei

2.1. / 1. - 2. ábra

N. céltábla roncsolódásai



α : Repesz eltérülés szöge

3: Kitörés

2: Fellazított cél-anyag

1: Kidomborodás (kifolyás)

2.1. / 1. - 1. ábra

A valóságos repeszhatás jellemzői

2.1. / 1. ábra

A céltáblák helyzeti és roncsolódási jellemzői
(Részletezések a szövegben)

A fentiek a következőket jelentik.

- **Bármely i , valamint az N . céltábla esetén:**

$$[v_{r,b}]_i > [v_{r,k}]_i \quad (2.1.-1.)$$

$$[v_{r,k}]_i \approx [v_{r,b}]_{i+1} \quad (2.1.-2.)$$

és a továbbiakban,

$$[v_{r,k}]_i = [v_{r,b}]_{i+1} \quad [\text{Itt}^3] \quad (2.1.-2.-1.)$$

és

$$[v_{r,k}]_N = 0 \quad [\text{Itt}^4] \quad (2.1.-3.)$$

Ahol,

$[v_{r,k}]_i$: az i . céltáblából kilépő repesz sebessége

és

$$[A_{r,b}]_i = [A_{r,k}]_i \quad (2.1.-4.)$$

$$[A_{r,k}]_i = [A_{r,b}]_{i+1} \quad (2.1.-5.)$$

$$0 \leq [A_{r,k}]_N \leq [A_{r,b}]_N \quad (2.1.-6.)$$

Ahol,

$[A_{r,b,k}]_i$: az 1. céltábla repeszcsatornájának be-, illetve kimenő keresztmetszete.

A fentiekből következnek, hogy $\Delta L_{CT, i}$ számértéke **nem lehet tetszőleges. Maximális mérete olyan lehet, amelynél a 2.1.-2. összefüggés szerinti feltétel teljesül^{3,4}. Minimális mérete, a céltábla vastagságának néhányszorosa lehet.⁵**

³ A feltétel teljesül, mivel a gyakorlatban előforduló max. 10 m nagyságrendű $\Delta L_{CT, i}$ távolságoknál a repeszsebesség (gyakorlatilag) állandó.

⁴ Lásd: 2.1./1. ábra.

⁵ Kísérleti adatok szerint:

- Fa anyagú céltáblánál; max. 3 vastagsági méret,
- Fém anyagú céltáblánál; max. 10 vastagsági méret. [1.]

- **A bemutatott jellemzők mérőszámai külön-külön és összességükben is megfelelnek a 2. rész 2.4.2.1. és 2.4.2.2. pontok szerinti szélsőérték feltételeknek.**

2.2. A céltáblák roncsolódási folyamatára vonatkozatható összefüggések

A roncsolódás folyamatának leírása – legáltalánosabb értelemben – valamely elemi mechanikai és/vagy hidro- és gázdinamikai függvénnyel (megmaradási tételekre, továbbá erő-, impulzus-, nyomaték- stb. hatásokra, valamint folyadék-, és gázáramlásokra vonatkozó) lehetséges [2.].

A gyakorlatban az első és/vagy a másodfokú függvényeket alkalmazzák [2.], a magasabb hatványkitevőjűek – ezek nehézkes alkalmazási technikái miatt – nem használatosak⁶. A hatványkitevő megválasztása függvénye annak, hogy a folyamat mely jellemzőjének ismerete hangsúlyozott. Amennyiben a céltábla nyírási jellemzői meghatározóak a roncsolódási folyamat során – általában – elsőfokú összefüggések felhasználására kerül sor [4.]. Amennyiben a céltábla zúzási, aprítási vagy reológiai jellemzői dominánsak a fenti folyamatnál- általában – másodfokú függvényeket alkalmaznak [5.].

A fenti függvények közül, a pontossági igényeknek leginkább megfelelnek a mechanika lineáris és a hidromechanika másodfokú alapösszefüggései. Tény ugyanis, hogy ezeket az I. és részben a II. Világháború harctevékenységei során ismertté vált repeszhatások tudományos elemzése során alkalmazták [6.].

A következőkben a fenti alapösszefüggések bázisán és a jelen, valamint az elsző publikációkban ismertett feltételek és szempontok felhasználásával kerül sor az N -függvény meghatározására.

⁶ n -ed fokú összefüggések is használhatók, amennyiben ennek hatványsora előállítható és ez approximálható másodfok szerint.

2.3. A számítások menete és eredménye

2.3.1. Mechanikai (közelítő) modell alapján

A roncsolási folyamat mechanikai modellezése szerint mind a repeszek, mind a céltáblák anyaga fizikai merev test, ennek megfelelően a valamely *i*. céltábla repeszcsatornája (lásd: 2.1./1.1. ábra) úgy képződik, hogy a becsapódó repesz a céltábla A_r keresztmetszetű L hosszúságú anyagát (a dugót) a táblából kitolja. Az anyag kitolásához nyíró-, és (a szerző kutatásai szerint [1.]) a becsapódási felületet (be)törő, továbbá a kilépő felületet (ki)törő erők együttes hatása szükséges.

A fentiekhez a következő kiegészítések szükségesek.

- **Először a vázolt modellezés**, amelynél (kizárólag) fizikai merev testek kölcsönhatása valósul meg – a roncsolási folyamat egyik szélsőértékek szerinti változatának felel meg. Ez azt jelenti, hogy a szélsőértékek legpontosabban a páncélvédelemmel ellátott objektumok repeszroncsolódásaira vonatkoztathatók közepes repeszsebességeknél⁷ (max. 1000 m/s) és a legkevésbé alkalmazhatók az élőerő-sérülések leírására.⁸
- **Másodszor a repeszmozgás során a 2.1./1.-2. ábra szerinti roncsolódások is bekövetkeznek**, amely esetekre a leírtak csak közelítéssel igazak. Tény ugyanakkor, hogy a számítási hiba kicsiny – egyetlen céltábla esetén, max. $0,5 \div 1\%$ - és N_M növelésével a 0-hoz közelít. (Az M -index a mechanikus modellt jelöli.)
- **Harmadszor a felületeke be-, és kitörő erők azonosak.** Ennek magyarázata az, hogy a deformált új felületek geometriái szimmetrikusak, ennek megfelelően ezek létrehozásához szükséges

⁷ Pontosabban azon sebességeknél, amelyeknél az ütközés során sem a repesz, sem a céltábla anyaga nem viselkedik folyadékként. Ez a kitétel a cél anyagoknál, a fenti sebességeknél teljesül.

⁸ Az élőerő-test a repesz-kölcsönhatási folyamatoknál (reológiai szempontból) viszkózus folyadékként viselkedik. [6.]

energiák is (jelen esetben a méretazonosságok következményeként) az erők is azonosak.

Összegezve a repeszcsatorna – jelen modell szerinti – képződésénél meghatározó a céltábla anyagára jellemző nyíró-, és felületi törő-erők együttese.

A további számításokhoz szükséges és – a fentieknek megfelelő(en) – elégséges mennyiségű és tartalmú alapösszefüggés az alábbi.

1.) A repeszcsatorna, - sugár és – terület függvényei a repeszjellemzők szerint⁹

1.1.) A repeszcsatorna-sugár függvénye

$$R_{r,b} = (K_{Rb})^{\frac{1}{2}} \left(\frac{3}{4}\right)^{\frac{1}{3}} \pi^{\frac{1}{3}} \left(\frac{m_r}{\rho_r}\right)^{\frac{1}{3}} \quad (2.3.1.-1.)$$

ahol,

K_{Rb} : kiszámítható (állandó) függvényérték

m_r : a repesz tömege

ρ_r : a repesz sűrűsége

1.2.) A repeszcsatorna-terület függvénye

$$A_{r,b} = K_{Rb} \left(\frac{3}{4}\right)^{\frac{2}{3}} \pi^{\frac{1}{3}} \left(\frac{m_r}{\rho_r}\right)^{\frac{2}{3}} \quad (2.3.1.-2.)$$

2.) Repeszsebesség-függvények a repeszcsatorna képződés munkaegyenlete szerint¹⁰

A munkaegyenlet,

$$\alpha_{rcs,N_M} = F_{ny} L_{CT} N_M + (2N - 1) \alpha_{Ar} \quad (2.3.1.-3.)$$

ahol,

α_{rcs,N_M} : N_M db repeszcsatorna képződéséhez szükséges munka

⁹ A függvények kifejtését lásd az 1. melléklet 1. pontjában.

¹⁰ A függvények kifejtését lásd az 1. melléklet 2. pontjában.

α_{Ar} : az A_r felület be-(vagy ki-)töréséhez szükséges munka

F_{ny} : nyíróerő a $2R_{rb}\pi L_{CT}$ felületen

A hivatkozott részletes kifejtés alapján a **keresett függvények a következők.**

2.1.) A repeszsebesség függvénye, $N_M > 1$ esetén

$$v_{r,b,N_M} = [N^2 K_1 + (2N_M - 1)K_2]^{\frac{1}{2}} \quad (2.3.1.-4.)$$

ahol,

K_1, K_2 : számítással meghatározható függvényértékek¹¹

2.2.) A repeszsebesség függvénye, $N_M = 1$ esetén

$$v_{r,b} = [K_1 + K_2]^{\frac{1}{2}} \quad (2.3.1.-5.)$$

3.) Az N_M függvény

A (2.3.1.-4.) és a (2.3.1.-5.) függvények alapján írható a következő egyenlet:

$$\frac{v_{r,b,N_M}^2}{v_{r,b}^2} = \frac{N_M^2 K_1 + (2N_M - 1)K_2}{K_1 + K_2} \quad (2.3.1.-6.)$$

Az egyenlet megoldásaként¹² **az N_M -függvényre kapjuk,**

$$N_M = (K_{31} v_{r,b,N_M}^{-1} - K_4) + K_{51} v_{r,b,N_M} \quad (2.3.1.-7.)$$

ahol,

K_4, K_{31}, K_{51} : számítással meghatározható függvényértékek.

(Ezek kifejezését illetően lásd: – sorrendben – az M-3.-2.2., az M-3.-3.1. és az M-3.-3.2. összefüggéseket.)

¹¹ Lásd az (M-2.1.-1.-1.) és az (M-2.1.-1.-2.) összefüggéseket.

¹² A számításokat az 1. melléklet 3. pontja tartalmazza.

3.1.) Az N_M -függvény diszkussziója

Először valamennyi K -, függvény és $-$ függvényérték szabatosan értelmezhető és ezek mindegyike egyértelműen meghatározható.

A $v_{r,b}$ függvény a repeszekre, a K_{ny} függvény a céltáblákra vonatkozik. A $K_1 - K_4$, valamint a K_{31} és a K_{51} - és ezek részeként (a 2.1. melléklet hivatkozott pontja) szerinti K_3, K_4 -függvények, a repeszek-céltáblák együtteseire vonatkoznak.

A függvényértékek a repeszek és a céltáblák, valamint a céltábla roncsolódások mérhető adataiból (geometriai méretek, tömeg-, és sűrűség-adatok, szilárdsági jellemzők mérőszámai) kiszámíthatók.¹³

Másodszor a K_{31} és a K_4 függvények gyakorlatban előfordulható függvényértékeinél a (2.3.1.-7.) függvény első tagjára igaz, hogy

$$K_{31}v_{r,b,N_M}^{-1} - K_4 < 0 \quad (2.3.1.-8.)$$

Ez azt jelenti, hogy N_M függvényértékeinek növekedése valamely negatív értéktől kezdődően lineáris minden v_{r,b,N_M} -re.

2.3.2. Hidrodinamikai (közelítő) modell alapján

A számítás logikai menete a 2.3.1. pont szerinti. Ennek megfelelően a roncsolási folyamat hidrodinamikai modellezésénél a repeszek anyaga fizikai merev test, a céltáblák anyaga viszkózus folyadék, a repesz hatásmutatója N_H (A H -index a hidrodinamikai modellt jelöli).

A 2.1./1.-1. ábra szerinti repeszcsatorna úgy képződik, hogy az $A_{r,b}$ keresztmetszettel becsapódó N_H hatásmutatójú repesz a $\Delta L(CT)$ hosszúságú szakaszon teljesen lefékeződik és a céltáblák anyagát részben összepréseli (és elmozdítja) a haladási irányra merőleges irányokba, részben kipréseli a

¹³ Vagyis a K -függvények valamennyi tagjának és tényezőjének definiáltsága – szabatos.

becsapódási nyíláson keresztül a $v_{r,b}$ vektor irányával ellentétes valamely $v_{k(x,y,z)}$ irányokba, ahol

$$\Delta L(CT) = N_H L_{CT} + \sum_1^{N-1} (\Delta L_{CT,i} - L_{CT}) \quad (2.3.2.-1.)$$

Mivel a fékeződés (gyakorlatilag) a céltáblák anyagában következik be, a tényleges fékezési úthosszúság a következő

$$\Delta L_{fék} \approx N_H L_{CT} \quad [\text{Itt}^{14}] \quad (2.3.2.-2.)$$

és

$$\underline{v}_{k(x,y,z)} = \underline{v}_x \leq 0 + \underline{v}_y \geq 0 + \underline{v}_z \geq 0 \quad (2.3.2.-3.)$$

ahol

$\underline{v}_{(x,y,z)}$: a $\underline{v}_{k(x,y,z)}$ koordináta-tengelyek irányú komponensei

A roncsolási folyamat során meghatározó a becsapódási és a kilépési felületeket

be-, illetve kitörő erők és a repeszmozgást fékező hidrodinamikai ellenállási erők együttes hatása.

A fentiekre vonatkozó kiegészítések a következők.

A jelen modellezés a roncsolási folyamat szintén egyik – de a 2.3.1. pontban foglaltaktól eltérő – szélsőértékek szerinti változata. A szélsőértékek legpontosabban a hiperszonikus sebességű repeszek (és lövedékek) által okozható páncél-céltárgy roncsolódásokra vonatkoznak és legkevésbé alkalmasak a páncélvédelemmel ellátott objektumok roncsolódásainak jellemzésére – közepes repeszsebességeknél.¹⁵

A 2.3.1. pontban foglaltakhoz hasonlóan, a továbbiakban szükséges és elégséges alapösszefüggés az alábbi.

¹⁴ Ezért a továbbiakban

$$\Delta L_{CT} \equiv N L_{CT} \quad (2.3.2.-2.-1.)$$

¹⁵ Az egyéb kiegészítések a 2.3.1. pont szerintiek.

1.) Repeszsebesség-függvények a repeszcsatorna képződés erőegyenletei szerint¹⁶

Az erőegyenletek a következők:

Egyrészt,

$$F_{r,CT,N_H} = -[(2N-1)F_{CT} + F_{r,he,CT}] \quad (2.3.2.-4.)$$

ahol,

F_{r,CT,N_H} : a repeszre ható fékezőerő N_H db céltáblában

F_{CT} : az A_r felület be-(vagy ki-)töréséhez szükséges erő¹⁷

$F_{r,he,CT}$: a repeszre ható hidrodinamikai erő (ellenállás) a

céltáblában.

Másrészt,

$$F_{r,CT,N_H} = m_r a_{r,CT,N_H} \quad (2.3.2.-5.)$$

ahol,

a_{r,CT,N_H} : a repesz lassulása az N_H db céltáblában.

A hivatkozott részletes kifejtés alapján a keresett függvények a következők.

1.1.) A repeszsebesség függvénye, $N_H > 1$ esetén

$$v_{r,b,N} = \left[\frac{2N_H - 1}{K(2)} \right]^{\frac{1}{2}} \left[e^{\frac{N_H L_{CT}}{K(1)}} - 1 \right]^{\frac{1}{2}} \quad (2.3.2.-6.)$$

ahol,

$K(1), K(2)$: számítással meghatározható függvényértékek¹⁸

¹⁶ A függvények kifejtését lásd az 1. melléklet 4. pontjában.

¹⁷ Lásd a 2.3.1. pontban foglaltakat.

¹⁸ Lásd az (M-4.1.-15.) és az (M-4.1.-16.) összefüggéseket.

1.2.) A repeszsebesség függvénye, $N_H=1$ esetén

$$v_{r,b} = \left[\frac{1}{K(2)} \right]^{\frac{1}{2}} \left[e^{\frac{1}{K(1)} L_{cr}} - 1 \right]^{\frac{1}{2}} \quad (2.3.2.-7.)$$

2.) Az N_H -függvény

A (2.3.2.-6.) és a (2.3.2.-7.) függvények alapján írható – a 2.3.2./3.) pont analógiájára – a következő egyenlet:

$$\frac{v_{r,b,N}^2}{v_{r,b}^2} = (2N_H - 1) \left[\frac{e^{\frac{N_H}{K(1)} L_{cr}} - 1}{e^{\frac{1}{K(1)} L_{cr}} - 1} \right] \quad (2.3.2.-8.)$$

Az egyenlet megoldása N_H -ra¹⁹ (a modell szerinti általánosítással és a szélsőértékeknek megfelelően) a következő,

$$N_H = K(31) + K(41) \left(\frac{v_{r,b,N_H}}{v_{r,b}} \right)^n \quad (2.3.2.-9.)$$

ahol,

$K(31), K(32)$: az (M-5.2.-2.) összefüggés szerinti állandók

n : állandó²⁰

2.1.) Az N_H -függvény diszkussziója

Először, valamennyi K , - állandó – függvény és függvényérték (a 2.3.1. pontban foglaltakhoz hasonlóan) szabatosan értelmezhető és mindegyikük egyértelműen meghatározható.

A K – állandó, - függvények – függvényértékek) részben a repeszekre, részben a céltáblákra és részben a repeszek-céltáblák együtteseire vonatkoznak.²¹ Az állandók és a függvényértékek mérőszámainak kiszámítását,

¹⁹ 1.) A számításokat az 1. melléklet 5. pontja tartalmazza.

2.) Lásd az (M-5.1.-3.) és az (M-5.2.-10.) összefüggéseket.

²⁰ Lásd az (M-5.3.-2.-1.) összefüggést.

²¹ Lásd a hivatkozások első helyeit.

valamint a függvények meghatározását illetően, a 2.3.1./4.) pontban foglaltak érvényesek.

3. A REPESZHATÁS N -FÜGGVÉNYE

A függvény kifejtése az N_M - és az N_H -függvények általánosításával lehetséges, az 1. melléklet 5. pontjában hivatkozott függvényanalízis szabályai szerint. Mindezek eredményeként a keresett N -függvény a következő,

$$N = K_N(1) + K_N(2) \left(\frac{v_{r,b,N}}{v_{r,b}} \right)^m \quad (3.-1.)$$

ahol,

$$K_N(1), K_N(2), m : \text{ kísérleti (mérési) adatok alapján számítással} \\ \text{meghatározható állandók. És} \\ 1 \leq m \leq 2 \quad (3.-1.-1.)$$

Továbbá, az m -állandó értelmezése (katonai-műszaki szempontok szerint) a következő.

Először, az $m=1$ szélsőérték, valamely páncélok, vagy az ezekhez hasonló szilárdsági jellemzőjű anyagi-technikai eszközök repesz sérüléseire vonatkozik, szub- és szuperszonikus repeszsebességeknél.

Másodszor, az $m=2$ szélsőérték az élőerő repesz sérüléseket jellemzi (korlátozás nélküli repeszsebességeknél), továbbá a fenti függvény ezen értékével (is) leírható szabatosan, a kinetikus fegyverek hiperszonikus sebességű lövedékeinek valamely célban kifejtett hatása.

Megállapítható továbbá, hogy a fenti függvény érvényessége igazolható (a bemutatott számításokon kívül), egyrészt kísérleti robbantási vizsgálatokkal, másrészt a háborús repesz-sérülések dokumentált és rendelkezésre állható adatainak felhasználásával.

4. ÖSSZEGZÉS, KÖVETKEZTETÉSEK

Megállapítást nyert, hogy a jelen közlemény 1. és 2. Rész-eiben publikált fizikai modell és matematikai módszer-együttes alkalmazásával kidolgozható a repeszhatás és a repesz-céltárgy jellemzői közötti függvénykapcsolat, vagyis az 1. Rész 2. CÉLKITŰZÉS pontjában foglaltak ide vonatkozó része – a repeszhatás egzakt analitikus leírása – teljesíthető.

A jelen publikációban bemutatásra került a (fentieknek megfelelően) kidolgozott egzakt, explicit repeszhatás függvény és megállapítást nyertek a következők.

- A függvény közvetlenül felhasználható a repeszhatékonyság kutatási tevékenységéhez – a hivatkozott CÉLKITŰZÉS-ben foglaltak szerint.**
- A függvény-érvényesség többoldalú ellenőrzésének és bizonyításának elméleti akadályja nincs.**

SZÁMÍTÁSOK

1. A REPEZSCSATORNA, -SUGÁR ÉS -TERÜLET FÜGGÉVNYEI A REPEZSJELLEMZŐK SZERINT

Valamely repesz általános formája, méretei az M-1./1. ábra szerintiek, vagyis a három irányú méret-paraméterek különbözőek és a felületi érdesség, felületelemenként változó.

Jelölje $A_{r,g}$ a repesz geometriai keresztmetszetét és legyen ez definíciószerűen annak a gömbnek a (maximális) keresztmetszete, amelynek m_r tömege megegyezik a ρ_r sűrűségű repesz tömegével.

Ebben az esetben,

$$A_{r,g} = \left(\frac{3}{4}\right)^{\frac{2}{3}} \pi^{\frac{1}{3}} \left(\frac{m_r}{\rho_r}\right)^{\frac{2}{3}} \quad (\text{M-1.-1.})$$

vagyis, a mérhető m_r és ρ_r ismeretében $A_{r,g}$ kiszámítható.

A repesz geometriai és tömeg-jellemzőiből származtatható tehetetlenségi nyomatékok arányai alapján, a céltáblába csapódó repesz által szakított nyílás keresztmetszete – legnagyobb valószínűséggel – a repesz maximálisan lehetséges keresztmetszetével – $A_{r,max}$ – (lásd: M-1./1. ábra) lesz arányos.¹

Vagyis,

$$A_{r,b} = K_{A_{r,b}} A_{r,max}. \quad (\text{M-1.-2.})$$

ahol,

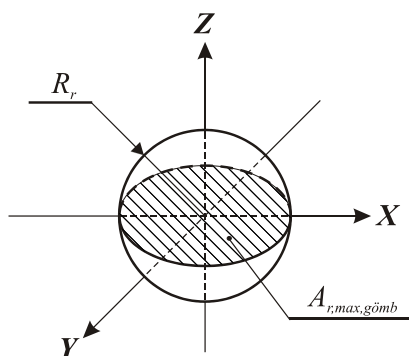
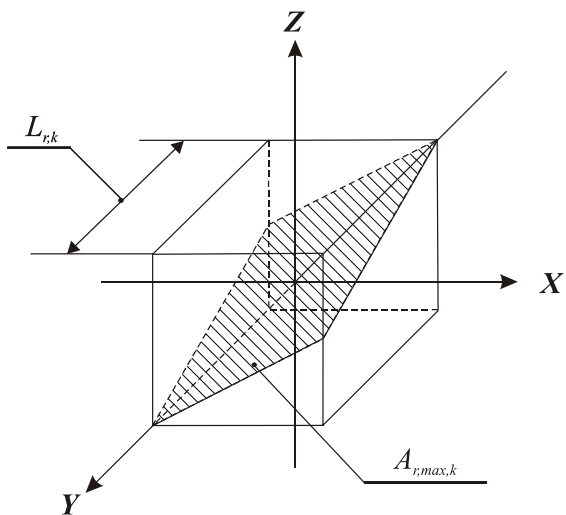
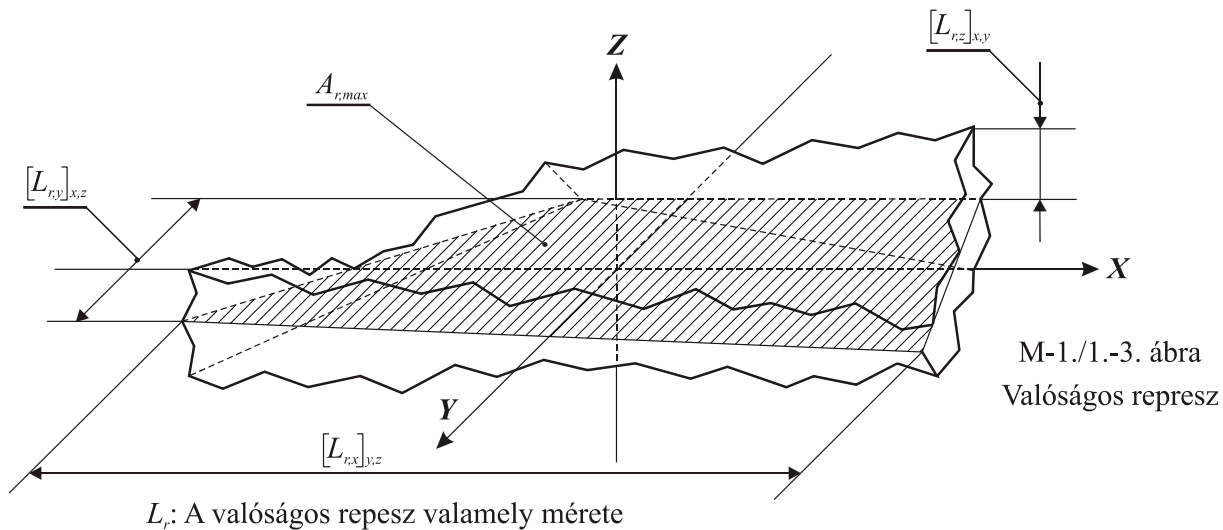
$K_{A_{r,b}}$: kísérleti vizsgálatokkal meghatározható állandó
és

¹ A jelenség magyarázata az, hogy a becsapódás során a repesz megakad (a céltábla anyagában) azon pont környezetében, amelynél a céltábla felületét először éri el, majd befordul a vázolt helyzet szerint.

$$A_{r,\max.} = K_{A_{r,\max.}} A_{r,g} \quad (\text{M-1.-2.-1.})$$

Ahol,

$K_{A_{r,\max.}}$: a repesz geometriai jellemzőinek ismeretében kiszámítható állandó.



M-1./1. ábra
Repeszek geometriai és méretjellemzői
(Részletezések a szövegben)

És

$$A_{r,b} = R_{r,b}^2 \pi \quad (\text{M-1.-3.})$$

ahol,

$R_{r,b}$: a repeszcsatorna sugara (lásd: M-1/1. ábra).

A fenti összefüggésekből a keresett függvények meghatározhatók. Vagyis:

1.1. A repeszcsatorna-sugár függvénye

$$R_{r,b} = (K_{R_b})^{\frac{1}{2}} \left(\frac{3}{4}\right)^{\frac{1}{3}} \pi^{-\frac{1}{3}} \left(\frac{m_r}{\rho_r}\right)^{\frac{1}{3}} \quad (\text{M-1.1.-1.})$$

ahol,

K_{R_b} : kiszámítható függvényérték, amely

$$K_{R_b} = K_{A_{r,b}} K_{A_{r,\max}} \quad (\text{M-1.1.-1.-1.})$$

1.2. A repeszcsatorna-terület függvénye

$$A_{r,b} = K_{R_b} K_{A_{r,b}} \left(\frac{m_r}{\rho_r}\right)^{\frac{2}{3}} \quad (\text{M-1.2.-1.})$$

ahol,

$K_{A_{r,b}}$: állandó, és

$$K_{A_{r,b}} = \left(\frac{3}{4}\right)^{\frac{2}{3}} \pi^{\frac{1}{3}} \quad (\text{M-1.2.-1.-1.})$$

2. REPEZSEBESSÉG-FÜGGVÉNYEK A MECHANIKAI MODELL

(2.3.1.-3.) MUNKAEGYENLETE SZERINT

Nyilvánvaló, hogy az N_M db repeszcsatorna képződéséhez szükséges munkára a következő összefüggés (is) igaz,

$$\alpha_{rcs,N} = N_M \alpha_{rcs} \equiv E_{r,N_M} \quad (\text{M-2.-1.})$$

α_{rcs} : 1 db repeszcsatorna képződéséhez szükséges munka

E_{r,N_M} : a céltáblába v_{r,b,N_M} sebességgel csapódó N_M hatásmutatójú repesz energiája (a becsapódási felületen), amely

$$E_{r,N_M} = \frac{1}{2} m_r v_{r,b,N_M}^2 \quad (\text{M-2.-1.-1.})$$

Továbbá, a repeszbehatolás során 1 db L_{CT} vastagságú céltáblában ébredő F_{ny} nyíróerő a repeszcsatorna $2R_{r,b} \pi L_{CT}$ felületén,

$$F_{ny} = \sigma_{ny,d} 2R_{r,b} \pi L_{CT} \quad (\text{M-2.-2.})$$

ahol,

$\sigma_{ny,d}$: a céltábla anyagának dinamikus nyírófeszültsége,

amely

$$\sigma_{ny,d} \approx K_{ny} \sigma_{ny,st} \quad [\text{Itt}^2] \quad (\text{M-2.-2.-1.})$$

ahol,

K_{ny} : kísérleti vizsgálatokkal meghatározható

állandó

$\sigma_{ny,st}$: a céltábla anyagának statikus

nyírófeszültsége

A jelen pont szerinti összefüggések, valamint az M-1.1.-1. és M-1.2.-1. függvények felhasználásával, a 2.3.1.-3. egyenletből a keresett függvények – hosszadalmas (itt nem részletezett) számításokkal előállíthatók. Vagyis

² 1.) Szilárd halmazállapotú anyagoknál, széles dinamikus igénybevételi (itt: sebesség-)tartományban, a lineáris közelítés igaz. [M1; M2.]

2.) Ezért a továbbiakban

$$\sigma_{ny,d} = K_{ny} \sigma_{ny,st} \quad (\text{M-2.-2.-2.})$$

2.1. A repeszsebesség függvénye, $N_M > 1$ esetén

$$v_{r,b,N} = [N_M^2 K_1 + (2N_M - 1)K_2]^{\frac{1}{2}} \quad (\text{M-2.1.-1.})$$

ahol,

K_1, K_2 : számítással meghatározható függvényértékek, amelyek

$$K_1 = (4\pi)^{\frac{2}{3}} 3^{\frac{1}{3}} K_{ny} \sigma_{ny,st} K_{Rb}^{\frac{1}{2}} \frac{1}{\sigma_r^{\frac{3}{2}}} \frac{1}{m_r^{\frac{3}{2}}} \alpha_{rcs} \quad (\text{M-2.1.-1.-1.})$$

és

$$K_2 = \frac{2}{m_r} L_{Ar} \quad [\text{Itt}^3] \quad (\text{M-2.1.-1.-2.})$$

2.2. A repeszsebesség függvénye, $N_M = 1$ esetén

A (2.3.1.-3.) függvény analógja a következő,

$$\alpha_{rcs} = F_{ny} L_{CT} + L_{Ar} \quad (\text{M-2.2.-1.})$$

és

$$\alpha_{rcs} \equiv E_r \quad (\text{M-2.2.-2.})$$

ahol,

E_r : a céltábla $v_{r,b}$ sebességgel csapódó $N_M = 1$ hatásmutatójú repesz energiája (a becsapódási felületen), amely

$$E_r = \frac{1}{2} m_r v_{r,b}^2 \quad (\text{M-2.2.-2.-1.})$$

Ezért a repeszsebesség analóg-függvénye,

$$v_{r,b} = [K_1 + K_2]^{\frac{1}{2}} \quad (\text{M-2.2.-3.})$$

³ α_{Ar} ; az A_r -felület be-(vagy ki-)töréséhez szükséges munka.

3. N_M -FÜGGVÉNY A MECHANIKAI MODELL SZERINT

A (2.3.1.-6.) egyenlet megoldása N_M -re a következő,

$$N_M = -\frac{K_2}{K_1} + \left\{ \frac{K_2^2}{K_1^2} + \frac{1}{K_2} \left[K_2 + (K_1 + K_2) \frac{v_{r,b,N_M}^2}{v_{r,b}^2} \right] \right\}^{\frac{1}{2}} \quad (\text{M-3.-1.})$$

Képezve a tört kitevőjű tag hatványsorát⁴, majd az így kapott összefüggésben elhagyva a v_{r,b,N_M} és a $v_{r,b}$ értékek lineárisnál magasabb hatványkitevőjű tagjait⁵, kapjuk,

$$N_M = \left(K_3 v_{r,b} v_{r,b,N_M}^{-1} - K_4 \right) + K_5 v_{r,b}^{-1} v_{r,b,N_M} \quad (\text{M-3.-2.})$$

ahol,

K_3, K_4, K_5 : számítással meghatározható függvényértékek, amelyek

$$K_3 = \frac{1}{2} \left(\frac{K_2}{K_1} \right)^{\frac{1}{2}} \quad (\text{M-3.-2.-1.})$$

$$K_4 = \left(\frac{K_2}{K_1} \right)^{\frac{1}{2}} \left(1 + \frac{K_2}{K_1} \right)^{-\frac{1}{2}} \quad (\text{M-3.-2.-2.})$$

és

$$K_5 = \left(\frac{K_2}{K_1} \right)^{-\frac{1}{2}} \quad (\text{M-3.-2.-1.})$$

Továbbá, valamely konkrét repeszkepző töltet és konkrét céltábla esetén,

$$v_{r,b} = \text{állandó} \quad (\text{M-3.-2.-1.-})$$

1.)

Ezért, a keresett N_M -függvény az alábbi,

$$N_M = \left(K_{31} v_{r,b,N_M}^{-1} - K_4 \right) + K_{51} v_{r,b,N_M} \quad (\text{M-3.-3.})$$

ahol,

K_{31}, K_{51} : számítással meghatározható függvényértékek, amelyek

⁴ LAURENT-sor.

⁵ Itt nem részletezett, (hosszadalmas, elemi) számításokkal meghatározhatóan, az approximációs hiba < 1%.

$$K_{31} = K_3 v_{r,b} \quad (\text{M-3.-3.-1.})$$

és

$$K_{51} = K_5 v_{r,b} \quad (\text{M-3.-3.-2.})$$

4. REPEZSEBESSÉG-FÜGGVÉNYEK A HIDRODINAMIKAI MODELL (2.3.2.-4. és 2.3.2.-5.) ERŐEGYENLETEI SZERINT

4.1. A fenti egyenletek szerinti F_{CT} , a_{r,CT,N_M} és F_{r,CT,N_M} (független-)változók kifejtése

1.) F_{CT} – az A_r felület be-(vagy ki-)töréséhez szükséges erő

Amely,

$$F_{CT} = \sigma_{sz,d} A_{r,b} \quad (\text{M-4.1.-1.})$$

ahol,

$\sigma_{sz,d}$: a céltábla anyagának dinamikus szilárdsági feszültsége⁶

és

$$\sigma_{sz,d} = K_{sz} \sigma_{sz,st} \quad (\text{M-4.1.-1.1.})$$

ahol,

K_{sz} : kísérleti vizsgálatokkal meghatározható állandó

$\sigma_{sz,st}$: a céltábla anyagának statikus szilárdsági feszültsége.⁷

Vagyis,

$$F_{CT} = K_{sz} \sigma_{sz,st} A_{r,b} \quad (\text{M-4.1.-2.})$$

2.) a_{r,CT,N_H} – a repesz lassulás az N_H db céltáblában

Amely,

⁶ Amely a dinamikus törési, nyírási és folyáshatár-feszültség függvény függvényértéke, a repesz v_r sebességénél.

⁷ Amely a statikus törési, nyírási és folyáshatár-feszültség függvény függvényértéke, a repesz v_r sebességénél.

$$a_{r,CT,N_H} = \frac{dv_r}{dt_{CT}} = \text{állandó}^8 \quad (\text{M-4.1.-3.})$$

és

$$\frac{dv_r}{dt_{CT}} \equiv \frac{dv_r}{dt_{CT}} \frac{dL_{CT}}{dL_{CT}} \quad (\text{M-4.1.-3.-1.})$$

ahol,

dt_{CT} : a repesz futási időtartama dL_{CT} távolságon

és

$$\frac{dL_{CT}}{dt_{CT}} = v_r \quad (\text{M-4.1.-3.-2.})$$

Vagyis,

$$a_{r,CT,N_H} = v_r \frac{dv_r}{dL_{CT}} \quad (\text{M-4.1.-4.})$$

3.) $F_{r,he,CT}$ – a repeszre ható hidrodinamikai erő (ellenállás) a céltáblában

A hidrodinamikai ellenállást a **NEWTON**-összefüggés [M3.] alábbi kifejtése írja le.⁹

$$F_{r,he,CT} = \frac{1}{2} C_e \rho_{CT} A_{r,b} v_{r,b,N_H}^2 \quad (\text{M-4.1.-5.})$$

ahol,

C_e : az ellenállási tényező alábbi függvényének

$$C_e, v = f(v) \quad (\text{M-4.1.-5.-1.})$$

függvényértéke¹⁰, vagyis

$$C_e = [C_e v]_v \quad (\text{M-4.1.-5.-2.})$$

és amely [Itt¹¹] állandó

és

⁸ Az egyenlőség szilárd halmazállapotú repeszek és homogén (anyagú) céltáblák esetén fennáll.

⁹ 1.) A **összefüggés szuper- és (korlátozottan) hiperszonikus sebességtartományokban is igaz** azzal a kiegészítéssel, hogy az összefüggés (függvény-)tényezői sebességtartományonként eltérőek.

2.) A **STOKES**-összefüggés [M4.] a szuper- és hiperszonikus sebességtartományokban nem alkalmazható [M5.].

¹⁰ Vagyis a céltábla (viszkózus) folyadék állapotára jellemző (függvényérték).

¹¹ Lásd: 9.

ρ_{CT} : a céltábla anyagának sűrűsége.

4.2. A repeszsebesség-függvények differenciálegyenlete és ennek megoldása

1.) A differenciálegyenlet

Behelyettesítve az M-4.1.-2., az M-4.1.-4. és az M-4.1.-5. összefüggéseket a 2.3.2.-4. és a 2.3.2.-5. egyenletekbe, rendezés után kapjuk,

$$m_r \cdot v_{r,b,N_H} \frac{dv_{r,b,N_H}}{dL_{CT}} = -A_{r,b} \cdot \left[(2N-1)K_{sz} \sigma_{sz,st} + \frac{1}{2} C_e \rho_{CT} v_{r,b,N_H}^2 \right] \quad (\text{M-4.1.-6.})$$

2.) A differenciálegyenlet megoldása (repeszsebesség-függvények meghatározása)

2.1.) A repeszsebesség függvénye, $N_H > 1$ esetén

Az M-4.1.-6. differenciálegyenlet alapján felírható integrálegyenlet a következő.

$$\frac{m_r}{A_{r,b}} \int_{v_{r,b,N_H}}^{v_{r,b,N_H}=0} \frac{v_{r,b,N_H}}{(2N_H-1)K_{sz} \sigma_{sz,st} + \frac{1}{2} C_e \rho_{CT} v_{r,b,N_H}^2} dv_{r,b,N_H} = - \int_{L_{CT}=0}^{N_H L_{CT}} dL_{CT} \quad (\text{M-4.1.-7.})$$

Behelyettesítve az M-1.1.-1. és az M-1.2.-1. összefüggéseket a fenti egyenletbe, $N_H L_{CT}$ -re **implicit megoldásként kapjuk**,¹²

$$N_H L_{CT} = \frac{1}{K_{A_r,b} K_{R_b}} \frac{1}{C_e v} m_r^{\frac{1}{3}} \frac{\rho_r^{\frac{2}{3}}}{\rho_{CT}} \cdot \left(1 + \frac{C_e v}{2(2N_H-1)\sigma_{sz,st} K_{sz}} \rho_{CT} v_{r,b,N_H}^2 \right) \quad (\text{M-4.1.-8.})$$

amelyből kapjuk,

$$v_{r,b,N_H}^2 = \left[2 \frac{(2N_H-1)K_{sz} \sigma_{sz,st}}{\rho_{CT} C_e v} \right] \cdot \left(e^{\frac{K_{A_r,b} K_{R_b} C_e v}{m_r^{\frac{1}{3}} \rho_r^{\frac{2}{3}}} N_H L_{CT}} - 1 \right) \quad (\text{M-4.1.-9.})$$

Továbbá, **szélső függvényértékeknél igazak a következők**,

¹² A hosszadalmas (egyszerű) számítások elhagyásával.

$$m_r, \rho_r, \rho_{CT} = \text{állandó} \quad (\text{M-4.1.-10.})$$

ezért,

a repeszre jellemző alábbi – $K_{r,1}$ és $K_{r,2}$ – függvényértékek,

$$K_{r,1} = \frac{1}{K_{A_r,b}} \frac{1}{K_{R,b}} = \text{állandó} \quad (\text{M-4.1.-11.})$$

és

$$K_{r,2} = m_r^{\frac{1}{3}} \rho_r^{\frac{2}{3}} = \text{állandó} \quad (\text{M-4.1.-12.})$$

a céltáblára jellemző alábbi – $K_{CT,1}$ – függvényérték,

$$K_{CT,1} = \frac{1}{2K_{sz} \sigma_{sz,st}} = \text{állandó} \quad (\text{M-4.1.-13.})$$

valamint **a repesz – céltábla együttese jellemző alábbi – $K_{r,CT}$ -függvényérték,**

$$K_{r,CT} = C_e \nu \rho_{CT} = \text{állandó} \quad (\text{M-4.1.-14.})$$

Bevezetve az alábbi jelöléseket, kapjuk,

$$K(1) = \frac{K_{r,1} K_{r,2}}{K_{r,CT}} = \text{állandó (függvényérték)} \quad (\text{M-4.1.-15.})$$

és

$$K(2) = K_{CT,1} K_{r,CT} = \text{állandó (függvényérték)} \quad (\text{M-4.1.-16.})$$

Behelyettesítve az (M-4.1.-15.) és az (M-4.1.-16.) összefüggéseket az (M-4.1.-9.) egyenletbe, rendezés után kapjuk, hogy **a keresett függvény a következő:**

$$v_{r,b,N_H} = \left[\frac{2N_H - 1}{K(2)} \right]^{\frac{1}{2}} \left[e^{\frac{N_H}{K(1)} L_{CT}} - 1 \right]^{\frac{1}{2}} \quad (\text{M-4.1.-17.})$$

2.2.) A repeszsebesség függvénye, $N_H=1$ esetén

Jelen esetben az (M-4.1.-7.), az (M-4.1.-8.) és az (M-4.1.-9.) összefüggések analógjai a következők,

$$\frac{m_r}{A_{r,b}} \int_{v_{r,b}}^{v_{r,b}=0} \frac{v_{r,b}}{K_{sz} \sigma_{sz,st} + \frac{1}{2} C_{e,v} \rho_{CT} v_{r,b}} dv_{r,b} = - \int_{L_{CT}=0}^{L_{CT}} dL_{CT} \quad [\text{Itt}^{13}] \quad (\text{M-4.1.-18.})$$

és

$$L_{CT} = \frac{1}{K_{A_r,b} K_{R_b}} \frac{1}{C_{e,v}} m_r^{\frac{1}{3}} \frac{\rho_r^{\frac{2}{3}}}{\rho_{CT}} \cdot \left(1 + \frac{C_{e,v}}{\sigma_{sz,st} K_{sz}} \rho_{CT} v_{r,b}^2 \right) \quad (\text{M-4.1.-19.})$$

és

$$v_{r,b}^2 = \left[2 \frac{K_{sz} \sigma_{sz,st}}{\rho_{CT} C_{e,v}} \right] \cdot \left(e^{\frac{K_{A_r,b} K_{R_b} C_{e,v} \frac{1}{2} \rho_{CT} L_{CT}}{m_r^{\frac{1}{3}} \rho_r^{\frac{2}{3}}}} - 1 \right) \quad (\text{M-4.1.-20.})$$

Behelyettesítve az (M-4.1.-15.) és az (M-4.1.-16.) összefüggéseket a fenti egyenletbe, rendezés után kapjuk, hogy **a keresett analóg függvény az alábbi:**

$$v_{r,b} = \left[\frac{1}{K(2)} \right]^{\frac{1}{2}} \left[e^{\frac{1}{K(1)} L_{CT}} - 1 \right]^{\frac{1}{2}} \quad (\text{M-4.1.-21.})$$

5. N_H -FÜGGVÉNYEK A HIDRODINAMIKAI MODELL SZERINT

A (2.3.2.-8.) egyenletben:

$$e^{\frac{1}{K(1)} L_{CT}} \gg 1 \quad [\text{Itt}^{14}] \quad (\text{M-5.-1.})$$

ezért a (fenti hivatkozású) egyenlet átalakítása után írható, hogy

$$\frac{v_{r,b,N_H}^2}{v_{r,b}^2} \approx (2N_H - 1) e^{\frac{L_{CT}}{K(1)} (N_H - 1)} \quad [\text{Itt}^{15}] \quad (\text{M-5.-2.})$$

¹³ $C_{e,v}$ mérőszáma a fenti és az (M-4.1.-7.) egyenletekben azonos, mivel a sebességtartományok egyezők.

¹⁴ A gyakorlatban előfordulható alábbi mérőszámoknál:

$$L_{CT} = (2 \div 50) \cdot 10^{-2} [m] \quad (\text{M-5.-1.-1.})$$

$$C_{e,v} = 1,5 \div 3 \quad (\text{M-5.-1.-2.})$$

$$\rho_{CT} = (1 \div 10) \cdot 10^3 \left[\frac{kg}{m^3} \right] \quad (\text{M-5.-1.-3.})$$

$$m_r = (10 \div 500) \cdot 10^{-3} [kg] \quad (\text{M-5.-1.-4.})$$

az (M-5.-1.) összefüggés szerinti mérőszám,

$$\rho^{\frac{1}{K(1)} L_{CT}} \approx 90 \div 400 \quad (\text{M-5.-1.-5.})$$

Az (M-5.-2.-1.) egyenlet átalakítása után kapjuk,

$$\ln \frac{v_{r,b,N_H}^2}{v_{r,b}^2} = \ln(2N_H - 1) + \frac{L_{CT}}{K(1)}(N_H - 1) \quad (\text{M-5.-3.})$$

Az egyenlet megoldásai N_H -ra, a szélsőértékeknek megfelelően a következők.

5.1. Az N_H -függvény, amennyiben meghatározó az (M-5.-3.) egyenlet jobb oldali első tagja

Ebben az esetben igaz, hogy

$$\ln(2N_H - 1) \gg \frac{L_{CT}}{K(1)}(N_H - 1) \quad [\text{Itt}^{16}] \quad (\text{M-5.1.-1.})$$

Vagyis írható, hogy

$$\ln \frac{v_{r,b,N_H}^2}{v_{r,b}^2} \approx \ln(2N_H - 1) \quad [\text{Itt}^{17}] \quad (\text{M-5.1.-2.})$$

Az (M-5.1.-2.-1.) egyenlet megoldásaként **az N -függvényre kapjuk,**

$$N_H = \frac{1}{2} \left(1 + \frac{v_{r,b,N_H}^2}{v_{r,b}^2} \right) \quad (\text{M-5.1.-3.})$$

5.2. Az N_H -függvény, amennyiben meghatározó az (M-5.-3.) egyenlet jobb oldali második tagja

1.) Pontos megoldás

Ebben az esetben igaz, hogy

$$\ln(2N_H - 1) \ll \frac{L_{CT}}{K(1)}(N_H - 1) \quad [\text{Itt}^{18}] \quad (\text{M-5.2.-1.})$$

¹⁵ A továbbiakban – (14) alapján

$$\frac{v_{r,b,N_H}^2}{v_{r,b}^2} \equiv (2N_H - 1) e^{\frac{L_{CT}}{K(1)}(N_H - 1)} \quad (\text{M-5.-2.-1.})$$

¹⁶ Az összefüggés helyesen írja le a valóságot, amennyiben a céltábla előerőt modellez és $N_H \approx 1$ (M-5.1.-1.-1.)

¹⁷ A továbbiakban – (14) alapján,

$$\ln \frac{v_{r,b,N_H}^2}{v_{r,b}^2} \equiv \ln(2N_H - 1) \quad (\text{M-5.1.-2.-1.})$$

Vagyis írható, hogy

$$\ln \frac{v_{r,b,N_H}^2}{v_{r,b}^2} \approx \frac{L_{CT}}{K(1)} (N_H - 1) \quad [\text{Itt}^{19}] \quad (\text{M-5.2.-2.})$$

Az (M-5.2.-2.-1.) egyenlet (pontos) megoldásaként az N -függvényre kapjuk,

$$N_H = 1 + \frac{K(1)}{L_{CT}} \ln \frac{v_{r,b,N_H}^2}{v_{r,b}^2} \quad (\text{M-5.2.-3.})$$

vagyis, a függvény bármely $\frac{v_{r,b,N_H}^2}{v_{r,b}^2}$ esetén növekvően konkáv. Ez azt jelenti, hogy N függvényértékeinek növekedése az $N_H > 0$ tartományban a lineárisnál nagyobb mértékű.

2.) (Egyik) közelítő, lineáris megoldás²⁰

Jelölje Y és $\frac{v_{r,b,N_H}}{v_{r,b}}$ valamely **DESCARTES**-koordinátarendszer tengelyeit és legyen (itt) értelmezve az (M-5.2.-3.) egyenlet jobboldali második tagjának logaritmikus tényezője a következő függvénnyel,

$$\ln \frac{v_{r,b,N_H}^2}{v_{r,b}^2} = Y \quad (\text{M-5.2.-4.})$$

Helyettesítse a fenti függvényt az a lineáris függvény, amely áthalad az $(Y = 0, \frac{v_{r,b,N_H}}{v_{r,b}} = 1)$ és az $(Y = [Y], \frac{v_{r,b,N_H}}{v_{r,b}} = \left[\frac{v_{r,b,N_H}}{v_{r,b}} \right])$ koordinátájú pontokon, ahol,

$$[Y] = \text{állandó} \equiv K_Y \quad (\text{M-5.2.-5.})$$

$$\left[\frac{v_{r,b,N_H}}{v_{r,b}} \right] = \text{állandó} \equiv K_{v_r} \quad (\text{M-5.2.-6.})$$

¹⁸ Az összefüggés helyesen írja le a valóságot (14) mérőszámainál.

¹⁹ A továbbiakban – (14) alapján,

$$\ln \frac{v_{r,b,N_H}^2}{v_{r,b}^2} \equiv \frac{L_{CT}}{K(1)} (N_H - 1) \quad (\text{M-5.2.-2.-1.})$$

²⁰ **A közelítő megoldás bármely (elsőfokúnál magasabb) rendű polinomnál is előállítható, ugyanakkor a fenti egyrészt a legegyszerűbb, másrészt konzervatív – vagyis N_H valóságos számértéke a számítottnál nagyobb – amelyek a gyakorlati felhasználásnál lehet jelentősége.**

A lineáris függvény általános alakja a következő,

$$Y = M \frac{v_{r,b,N_H}}{v_{r,b}} + B \quad (\text{M-5.2.-7.})$$

ahol,²¹

M : a meredekség, amely állandó és

$$M = \frac{K_Y}{K_{v,r} - 1} \quad (\text{M-5.2.-7.-1.})$$

B : állandó, amely

$$B = -M \quad (\text{M-5.2.-7.-2.})$$

Vagyis,

$$Y = \frac{K_Y}{K_{v,r} - 1} \left(\frac{v_{r,b,N_H}}{v_{r,b}} - 1 \right) \quad (\text{M-5.2.-8.})$$

Ezért a fenti és az (M-5.2.-4.) összefüggések alapján írható, hogy

$$\ln \frac{v_{r,b,N_H}^2}{v_{r,b}^2} = \frac{K_Y}{K_{v,r} - 1} \left(\frac{v_{r,b,N_H}}{v_{r,b}} - 1 \right) \quad (\text{M-5.2.-9.})$$

Behelyettesítve a fenti összefüggést az (M-5.2.-3.) egyenletbe megoldásként **az N_H -függvényre kapjuk,**

$$N_H \approx K(3) + K(4) \frac{v_{r,b,N_H}}{v_{r,b}} \quad [\text{Itt}^{22}] \quad (\text{M-5.2.-10.})$$

ahol,

$K(3), K(4)$: kísérleti (mérési) adatok alapján számítással meghatározható állandók, amelyek,

$$K(3) = 1 - K(4) \quad (\text{M-5.2.-10.-2.})$$

és

$$K(4) = \frac{K(1)}{L_{CT}} \frac{K_Y}{K_{v,r} - 1} \quad (\text{M-5.2.-10.-3.})$$

²¹ Az – itt nem részletezett – függvényanalízis szabályai szerint.

²² A továbbiakban – (20) következményeként;

$$N_H = K(3) + K(4) \frac{v_{r,b,N_H}}{v_{r,b}} \quad (\text{M-5.2.-10.-1.})$$

5.3. Az 5.1. és az 5.2. pontok szerinti N_H -függvények általánosítása

Az (M-5.1.-3.) és az (M-5.2.-10.) összefüggések alapján, N -re a következő egyenlőtlenség írható fel,

$$K(3) + K(4) \frac{v_{r,b,N_H}}{v_{r,b}} \leq N_H \leq \frac{1}{2} \left(1 + \frac{v_{r,b,N_H}^2}{v_{r,b}^2} \right) \quad (\text{M-5.3.-1.})$$

Az egyenlőtlenségre felírható a következő összefüggés²³, amely az általánosított N_H -függvény:

$$N_H = K(31) + K(41) \left(\frac{v_{r,b,N_H}}{v_{r,b}} \right)^n \quad (\text{M-5.3.-2.})$$

ahol,

$K(31), K(41)$: $K(3)$ és $K(4)$ alapján számítással meghatározható állandók

n : kísérleti (mérési) adatok alapján meghatározható állandó, amely,

$$1 \leq n \leq 2 \quad [\text{Itt}^{24}] \quad (\text{M-5.3.-2.-1.})$$

²³ A függvényanalízis (elemi) – itt nem részletezett – szabályai szerint.

²⁴ v_{r,b,N_H} hatványkitevőinek következményeként.

IRODALOMJEGYZÉK

- [1.] **MOLNÁR L.:** Implóziós robbantás. Kandidátusi értekezés, Budapest, 1992.
- [2.] **HARMOS Z.-FERENCZY B.-IKVAY M.:** Tüzérlövészettan, Budapest, 1937.
- [3.] **HENDERSON, L. F.:** Theory for Convex Equations of State. 27th International Symposium on Shock Waves, St. Petersburg, 2009.
- [4] **GRUDNITSKY, V. G.:** Non linear theory of conservation laws of solid medium. 27th International Symposium on Shock Waves St. Petersburg, 2009.
- [5] **KHOTYANOVSKY, D.-KUDRYAVTSEV, A.-IVANOV, M.:** Shock Wave propagation in viscous gas in a long tube. 27th International Symposium on Shock Waves, St. Petersburg, 2009.
- [6.] **FEGYVER- ÉS LŐSZERTECHNIKAI KÉZIKÖNYV,** Budapest, 1984.
- [M1] **MŰSZAKI LEXIKON,** Budapest, Akadémiai Kiadó, 1974.
- [M2] **STANJUKOVICH, K. P.:** Fizika Vzrúva. Izdatelsztvo Nauka, Moszkva, 1975.
- [M3] **LANDAU, L. D.-LIFSIC, E. M.:** Elméleti fizika, VI., Budapest, 1981.
- [M4] **BUDÓ Á.-PÓCZA J.:** Kísérleti fizika, Budapest, 1962.
- [M5] **BOSCO, A.-REINARTZ, B.-MÜLLER, S.:** Computation of hypersonic shock boundary layer interaction on a double wedge using a differential Reynolds Stress Modell. 27th International Symposium on Shock Waves, St. Petersburg, 2009.